

رفتار خوردگی پوشش‌های نانوبلورین نیکل اعمالی بر روی آلیاژ منیزیم AZ91 به روش آب‌کاری الکتریکی*

آرمان زارع بیدکی^(۱) محمد رضا ابوطالبی^(۲) حسن محمودی کهنه^(۳)

چکیده

در این تحقیق، پوشش نیکل به روش آب‌کاری الکتریکی بر روی آلیاژ منیزیم AZ91 اعمال شد و مقاومت به خوردگی آن با آلیاژ منیزیم AZ91 و نیکل خالص با استفاده از آزمون‌های پلاریزاسیون و طیف‌سنجی امپدانس الکتروشیمیایی (EIS) در محلول ۳/۵ درصد وزنی کلرید سدیم مقایسه شد. ساختار پوشش با آزمون پراش پرتوی ایکس (XRD) و مُفرولوژی و ترکیب شیمیایی آن با استفاده از میکروسکوپ الکترونی روشنی (SEM) بررسی شد. بررسی‌ها نشان دادند که پوشش دارای ساختار نانوبلورین با میانگین اندازه گرانه ۹۵ نانومتر می‌باشد. نتایج آزمون خوردگی نشان دادند که چگالی جریان خوردگی از $2.5 \times 10^{-4} \text{ A/cm}^2$ برای نمونه‌ی بدون پوشش تا $1.5 \times 10^{-5} \text{ A/cm}^2$ کاهش می‌یابد و پتانسیل خوردگی افزایش می‌یابد.

واژه‌های کلیدی آلیاژ منیزیم AZ91، آب‌کاری الکتریکی نیکل، خوردگی، طیف نگاری امپدانس الکتروشیمیایی، پلاریزاسیون.

Corrosion Behavior of Electrodeposited Nickel Coatings on AZ91 Mg Alloy

A. Zarebidaki M. R. Aboutalebi H. Mahmoudi kohani

Abstract

In this study, nickel was electrodeposited onto the surface of AZ91 Mg alloy and its corrosion resistance was compared with those of AZ91 Mg alloy and pure nickel using polarization and electrochemical impedance spectroscopy (EIS) experiments in a 3.5 wt.% NaCl solution. The structure of coating was investigated by means of X-ray diffraction, and the specimen's morphology and the coating's chemical composition were analyzed using scanning electron microscope (SEM). The results showed that the coating has a nano-crystalline structure with the average grain size of 95 nm. The results of corrosion tests showed a decrease in the corrosion current density from $2.5 \times 10^{-4} \text{ A.cm}^{-2}$ for the uncoated sample to $1.5 \times 10^{-5} \text{ A.cm}^{-2}$ for the coated specimen, as well as an increase in the corrosion potential.

Key Word AZ91 Mg alloy, Nickel Electrode position, Corrosion, Electrochemical Impedance Spectroscopy (EIS), Polarization.

* نسخه‌ی نخست مقاله در تاریخ ۹۲/۸/۲۶ و نسخه‌ی پایانی آن در تاریخ ۹۳/۸/۲۷ به دفتر نشریه رسیده است.

(۱) نویسنده‌ی مسئول، استادیار، گروه مهندسی متالورژی، واحد یزد، دانشگاه آزاد اسلامی، یزد.

(۲) استاد، دانشکده مهندسی مواد و متالورژی، دانشگاه علم و صنعت ایران.

(۳) دانشجوی کارشناسی، گروه مهندسی متالورژی، واحد یزد، دانشگاه آزاد اسلامی، یزد.

زیرین، سبب ایجاد حفره‌هایی در پوشش اعمالی بر سطح می‌شود. دو عملیات اوئیه‌ی اصلی برای پوشش دهی منیزیم، عبارتند از غوطه‌وری در محلولی حاوی یون روی (زینکاته کردن) و آب‌کاری الکتروولس نیکل [10-13].

ژو و همکاران [14]، رفتار الکتروشیمیایی آلیاژ منیزیم AZ91 در محلول‌های مختلف مورد استفاده در عملیات اوئیه (شامل محلول‌های اسیدشویی، فعال‌سازی و غوطه‌وری در روی) را بررسی کرده‌اند. تحقیق آن‌ها نشان داده است که ترکیب محلول‌های مورد استفاده در عملیات اوئیه (آماده‌سازی) تأثیر قابل توجهی بر چسبندگی لایه‌های پوشش داده شده دارد. آن‌ها نشان داده‌اند که عملیات فعال‌سازی با K₄P₂O₇ یا عملیات اسیدشویی - فعال‌سازی با KMnO₄، می‌تواند سبب ایجاد یک لایه‌ی میانی مناسب برای آب‌کاری الکتریکی نیکل یا مس شود. هوآنگ و همکاران [15]، یک فرایند آب‌کاری الکتریکی مس AZ31 پیشنهاد کرده‌اند. تحقیق آن‌ها نشان داده است که انجام یک پیش عملیات با استفاده از حکاکی گالوانوستاتیکی و آب‌کاری الکتریکی بعدی مس، می‌تواند سبب ایجاد یک لایه‌ی میانی مناسب برای انجام آب‌کاری الکتریکی نیکل برای رسیدن به پوشش محافظ نیکل/مس در حمام اسیدی شود. تنها پژوهش مربوط به اعمال مستقیم پوشش نیکل (بدون استفاده از لایه‌ی میانی) از طریق آب‌کاری الکتریکی بر روی آلیاژ منیزیم AZ31B، توسط لی و همکاران گزارش شده است [16]. آن‌ها پوشش نیکل را به صورت مستقیم در یک الکتروولت محتوی پیروفسفات پتابسیم، سولفات نیکل، فلوراید پتابسیم و هیدروکسید آمونیم، به روش آب‌کاری الکتریکی بر روی سطح آلیاژ منیزیم AZ31B ایجاد کرده‌اند. تأثیر انجام عملیات اوئیه‌ی زینکاته بر استحکام چسبندگی پوشش مس ایجاد شده با آب‌کاری الکتریکی بر روی آلیاژ AZ91D، توسط تانگ و همکاران بررسی شده است [17]. آن‌ها نشان داده‌اند که تلاطم ایجاد شده در نتیجه‌ی استفاده از امواج ماورای صوت در فرایند زینکاته کردن می‌تواند سبب

مقدمه

منیزیم و آلیاژ‌های آن دارای خواص فیزیکی و مکانیکی عالی از قبیل چگالی کم ($1/7 \text{ gr/cm}^3$)، نسبت بالای استحکام به وزن، رسانایی حرارتی بالا، پایداری ابعادی بالا و قابلیت ماشین کاری خوب هستند و این آن‌ها را به یک انتخاب عالی برای صنایع خودروسازی و هواپضا تبدیل کرده است. کاربرد منیزیم در این صنایع، موجب کاهش وزن چشم‌گیر سازه‌ها می‌شود، بدون آن‌که بر افت خواص فیزیکی آن‌ها تأثیر بدی داشته باشد. متاسفانه، مقاومت به خوردگی و سایش پائین منیزیم و آلیاژ‌های آن استفاده‌ی گسترده از آن‌ها را در بسیاری از کاربردها محدود کرده است. از بین بردن ناخالصی فلزات سنگین مانند آهن، نیکل و مس، موجب بهبود مقاومت به خوردگی منیزیم و آلیاژ‌های آن می‌شود. مؤثرترین راه برای بالا بردن مقاومت به خوردگی منیزیم و آلیاژ‌های آن، پوشاندن سطح آن‌ها به‌وسیله‌ی یک پوشش جداگانه است که فلز پایه را از محیط خورنده جدا می‌کند. منیزیم و آلیاژ‌های آن، مستعد به خوردگی گالوانیک هستند. در این شرایط، یک حفاظت مناسب در برابر خوردگی توسط پوشش‌های فلزی یکنواخت، بدون تخلخل و با چسبندگی مناسب، قابل دسترس خواهد بود. تشکیل یک لایه از اکسید یا هیدروکسید بر روی سطح منیزیم و آلیاژ‌های آن که در تماس با هوا یا آب هستند، تأثیر بسیار محربی بر چسبندگی و یکنواختی پوشش‌های اعمالی دارد. تلاش‌های زیادی برای اعمال پوشش نیکل بر روی منیزیم و آلیاژ‌های بهروشهای مختلف نظیر فرایندهای الکتروولس و آب‌کاری الکتریکی، انجام شده است. حضور یک لایه‌ی ضخیم و سُست از Mg(OH)₂ بر روی سطح منیزیم و آلیاژ‌های آن، مانع از آب‌کاری الکتریکی برای ایجاد پوشش چسبنده و یکنواخت از نیکل می‌شود [1-7]. استفاده از یک عملیات اوئیه‌ی مناسب، گامی مهم در پوشش دهی منیزیم و آلیاژ‌های آن است. ایجاد یک زیر لایه مناسب نقش مهمی می‌تواند در چسبندگی، رفتار خوردگی و سایر خصوصیات پوشش ایجاد شده بر روی سطح داشته باشد. حضور تخلخل در پوشش

به عنوان زیرلایه استفاده شد. قبل از اعمال پوشش نیکل با آب کاری الکتریکی، قسمتی از نمونه‌ها به مساحت 100 mm^2 با استفاده از کاغذ ساینده تا شماره‌ی ۶۰ سنباده زده شدند و پس از آن، با آب مقطر شسته شدند. در انتهای، نمونه‌ها با استفاده از آستون چربی‌زادایی شدند. ترکیب حمام و شرایط کاری استفاده شده برای آب کاری الکتریکی نیکل، در جدول ۱ ارائه شده‌اند. تمام مواد شیمیایی مورد استفاده برای تهیهٔ محلول‌ها، از شرکت مرك آلمان خریداری شده بودند. نمونه‌ها نخست درون حمام اسیدشوی غوطه‌ور شدند، سپس به حمام فعال‌سازی و بعد از آن، به حمام زینکاته کردن و در نهایت، به حمام آب کاری الکتریکی مس منتقل شدند. در آخرین مرحله از عملیات، آب کاری الکتریکی نیکل انجام شد. نمونه‌ها پس از هر مرحله با آب مقطر شسته شدند و بالاگفته در حمام بعدی غوطه‌ور شدند (جدول (۱)).

بهبود پوشش روی و رسوب کردن بیش‌تر آن بر روی β غنی از آلومینیوم در سطح آلیاژ و در نهایت، بهبود استحکام چسبندگی شود. افزودن اسید بوریک به حمام پوشش دهی مس نیز در ایجاد یک لایه‌ی مسی صاف و یکنواخت مؤثر است. همان‌طور که قبلاً گفته شد، مطالعه‌ی بیش‌تر بر روی مقاومت به خوردگی آلیاژ منیزیم AZ91 پوشش داده شده توسط نیکل به روش آب کاری الکتریکی، ارزش کاربردی بالای دارد. به همین دلیل، در تحقیق حاضر، به ایجاد یک لایه‌ی محافظ از جنس نیکل بر روی آلیاژ منیزیم AZ91 بررسی مقاومت به خوردگی آن با استفاده از روش‌های پلاریزاسیون و طیف نگاری امپدانس الکتروشیمیایی پرداخته شده است.

مواد و روش‌های آزمایش

در این تحقیق، از آلیاژ ریختگی منیزیم AZ91 درصد وزنی آلومینیم و ۹ درصد وزنی روی شامل

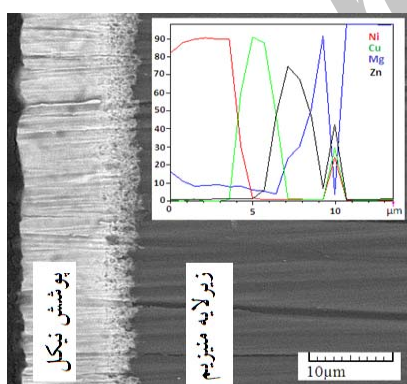
جدول ۱ ترکیب حمام‌ها و جزئیات عملیات اولیه و آب کاری الکتریکی نیکل بر روی آلیاژ منیزیم AZ91

فرایند	ترکیب حمام	غناخت (mol L^{-1})	شرایط
اسیدشویی [۱۷]	HF + HCl	۰/۲۵wt.% از هر کدام	دمای اتاق، ۲۰ ثانیه
فعال‌سازی [۱۷]	$\text{K}_4\text{P}_2\text{O}_7$ Na_2CO_3 KF $\text{CuSO}_4 \cdot 5\text{H}_2\text{O}$	۰/۲۶ ۰/۱۴۲ ۰/۰۷۷ $۰/۳۲ \times 10^{-3}$	pH ۱۰/۵= دمای اتاق. ۱۸۰ S
زینکاته	$\text{ZnSO}_4 \cdot 7\text{H}_2\text{O}$ $\text{K}_4\text{P}_2\text{O}_7$ Na_2CO_3 KF	۰/۱۶ ۰/۴۲ ۰/۰۴۷ ۰/۱۰۳	pH ۱۰/۵= ۷۰°C. ۱۰۰ ثانیه
آب کاری الکتریکی مس	$\text{CuSO}_4 \cdot 5\text{H}_2\text{O}$ $\text{KNaC}_4\text{H}_4\text{O}_6 \cdot 4\text{H}_2\text{O}$ NaOH	۰/۲۸ ۱/۲۳ ۳/۰۰	دماه اتاق، ۱۳/۵ سرعت هم‌زدن = ۶۰ rpm $I_C = -8\text{mA cm}^{-2}$ آند مس خالص ۱۰۰ ثانیه
آب کاری الکتریکی نیکل	$\text{NiSO}_4 \cdot 6\text{H}_2\text{O}$ $\text{NiCl}_2 \cdot 6\text{H}_2\text{O}$ H_3BO_3	۱/۱۴ ۰/۱۹ ۰/۴۹	دماه اتاق، ۴/۲ $I_C = -50 \text{ mA cm}^{-2}$ آند نیکل خالص ۶۰ ثانیه

اندازه‌گیری شد.

نتایج و بحث

در شکل (۱)، تصویر مقطع عرضی به همراه نتیجه‌ی روش خطی از آلیاژ منیزیم AZ91 پوشش داده شده توسط نیکل با آب‌کاری الکتریکی نشان داده شده است. در این شکل، مشاهده می‌شود که عملیات او لیه‌ی زینکاته کردن و آب‌کاری الکتریکی مس سبب ایجاد لایه‌های نازکی از روی و مس بر روی زیرلایه می‌شود. این لایه‌ها می‌توانند سبب افزایش چسبندگی پوشش نیکل به زیرلایه شود [۱۹]. در فرایند اسیدشویی، لایه‌های ضعیف سطحی مثل اکسیدها، هیدروکسیدها و سایر آلودگی‌ها از سطح جدا شده و یک سطح زیر و مناسب برای چسبندگی بهتر پوشش بعدی به زیرلایه بوجود می‌آید. فلورید پتانسیم (KF) با تشکیل لایه‌ی فلورایید بر روی سطح، از خوردگی زیرلایه در حمام آب‌کاری بعدی جلوگیری می‌کند. پس از غوطه‌وری نمونه در محلول زینکاته، لایه‌ای از روی بر روی سطح رسوب می‌کند و این لایه باعث افزایش رسانایی الکتریکی زیرلایه برای اعمال پوشش آب‌کاری بعدی می‌شود [۱۴]. با توجه به ضخامت پوشش، نرخ رسوب‌گذاری در حمام نیکل، حدود $30 \mu\text{m}/\text{h}$ تخمین زده می‌شود.



شکل ۱ تصویر SEM از مقطع و تغییرات خطی عناصر در محدوده‌ی فصل مشترک پوشش - زیرلایه در آلیاژ منیزیم AZ91 پوشش داده شده با نیکل با آب‌کاری الکتریکی

الگوی پراش پرتوی ایکس از پوشش، در شکل (۲) نشان داده شده است. اندازه‌گیری‌های انجام شده با استفاده از معادله‌ی دبای - شرر، نشان دادند که

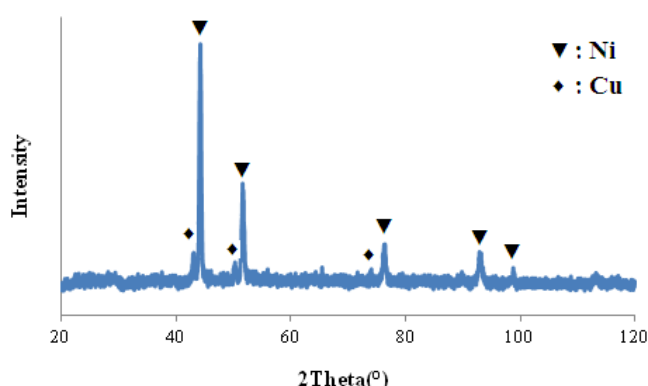
مُروفولوژی و ترکیب شیمیایی پوشش به کمک میکروسکُپ الکترونی روبشی (SEM) مدل CAMSCAN MV2300 مجهز به طیف نگار انرژی تفرق اشعه X بررسی شد. سختی پوشش با استفاده از ریزسختی سنج ویکرز (مدل AMSLERD-6700) با اعمال بار ۵۰ گرم به مدت ۲۰ ثانیه اندازه‌گیری شد. ریزسختی اعلام شده برای هر نمونه، میانگین سه مرتبه اندازه‌گیری بوده است. ضخامت پوشش با مشاهده مقطع عرضی نمونه و با استفاده از میکروسکُپ الکترونی روبشی تعیین شد. برای تعیین ویژگی‌های ریزساختاری پوشش، از دستگاه پراش پرتوی ایکس (XRD) با الکترود مسی (مدل Philips xpert) استفاده شد. با توجه به مقادیر پهنا در نصف ارتفاع پیک (FWHM) مربوط به پیک‌های نیکل با ساختار بلوری FCC، اندازه‌ی دانه به کمک معادله‌ی شرر تخمین زده شد [۱۸]. مقاومت به خوردگی نمونه‌ها در محلول $3/5$ درصد وزنی کلرید سدیم با $\text{pH} = 7$ ، با استفاده از روش‌های پلاریزاسیون و طیف نگاری امپدانس الکتروشیمیایی ارزیابی شد. آزمون‌های خوردگی با استفاده از دستگاه Auto lab/pgstate12 مجهز به تحلیل گر پاسخ فرکانس (FRA) انجام شد. از یک مجموعه‌ی سه الکترود استاندارد شامل نمونه به عنوان الکترود کاری (WE)، الکترود Ag/AgCl (RE) و الکترود پلاتین به عنوان الکترود شمارنده (CE) استفاده شد. آزمون پلاریزاسیون پتانسیواستاتیک به وسیله‌ی روش پتانسیل با سرعت $+1000 \text{ mV/sec}$ در محدوده -250 mV تا 1000 mV نسبت به پتانسیل مدار باز (OCP) انجام شد. اندازه‌گیری‌های آزمون امپدانس (EIS) در پتانسیل مدار باز (OCP)، در محدوده فرکانس 0.01 kHz تا 100 kHz و با اعمال سیگنال AC با دامنه‌ی 5 mV انجام شد. برنامه‌ی شبیه‌سازی مدار معادل (Z view2) به منظور تحلیل داده‌ها، شبیه‌سازی مدار معادل و انتبار اطلاعات تجربی، مورد استفاده قرار گرفت. برای مقایسه‌ی بیشتر، افزون بر مقاومت به خوردگی آلیاژ AZ91 پوشش داده شده توسط نیکل، مقاومت به خوردگی آلیاژ AZ91 بدون پوشش و نیکل خالص هم

پوشش نیکل آب کاری الکتریکی شده در محلول ۳/۵ درصد وزنی کلرید سدیم را نشان می دهد. همان گونه که مشاهده می شود، نمودارهای سه نمونه شکل مشابه ولی اندازه ای متفاوتی دارند. این رفتار می تواند به یک فرایند بنیادی یکسان که در همه نمونه ها با مقاومت به خوردگی متفاوت، نسبت داده شود. بیشتر بودن شعاع نمودار مربوط به آلیاژ منیزیم AZ91 پوشش داده شده با آب کاری الکتریکی نیکل (شکل (۵)) در مقایسه با شعاع نمودار مربوط به زیر لایه ای AZ91 (شکل (۳)), حفاظت مؤثر پوشش را نشان می دهد [22]. یک مدار معادل که برای شبیه سازی مشخصات فصل مشترک فلز / محلول و تحلیل نمودار نای کوواست نمونه ها استفاده شده است، در شکل (۴) نشان داده شده است.

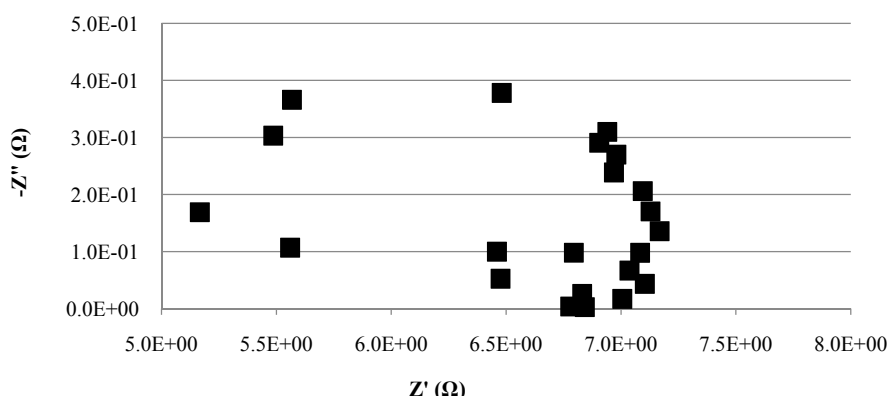
پوشش دارای ساختار نانوبلورین با اندازه دانه ای برابر با ۹۵ nm بوده است.

در شروع فرایند آب کاری، جوانه زنی پوشش بر روی مراکز رشد جداگانه رخ می دهد. تعداد این مراکز اولیه، اندازه دانه ای نهایی پوشش را تعیین می کند. تعداد مراکز رشد اولیه به عواملی مانند پتانسیل اضافی احیای یون های احیاء شونده، غلظت گونه های فعال الکترود و چگالی فرایندهای جذب و دفع از سطح الکترود و حدواده جریان بستگی دارد [20]. ریز سختی پوشش در حدود ۲۰۴ HV₅₀ است، در حالی که ریز سختی زیر لایه ای آلیاژ AZ91 در حدود ۷۳ HV₅₀ می باشد. افزایش سختی زیر لایه با به کار گیری یک پوشش فلزی، آن را برای کاربردهای سایشی مناسب تر می کند [21].

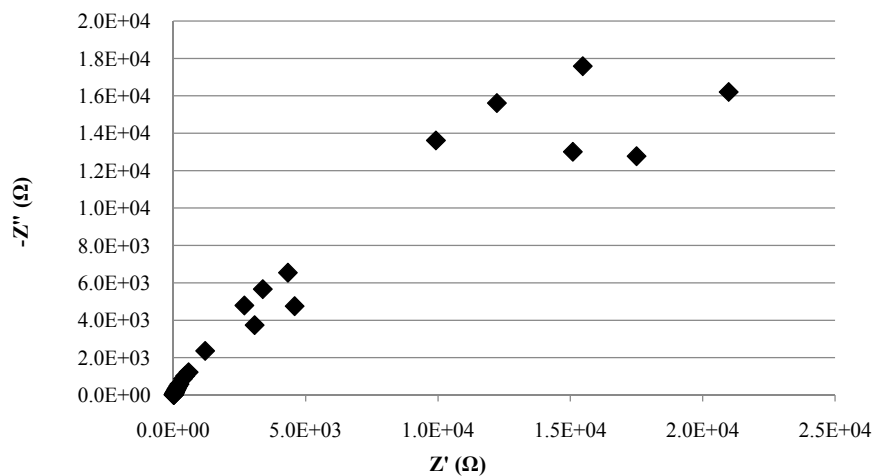
شکل های (۳)، (۴) و (۵) به ترتیب نمودارهای نای کوواست برای آلیاژ منیزیم AZ91، نیکل خالص و



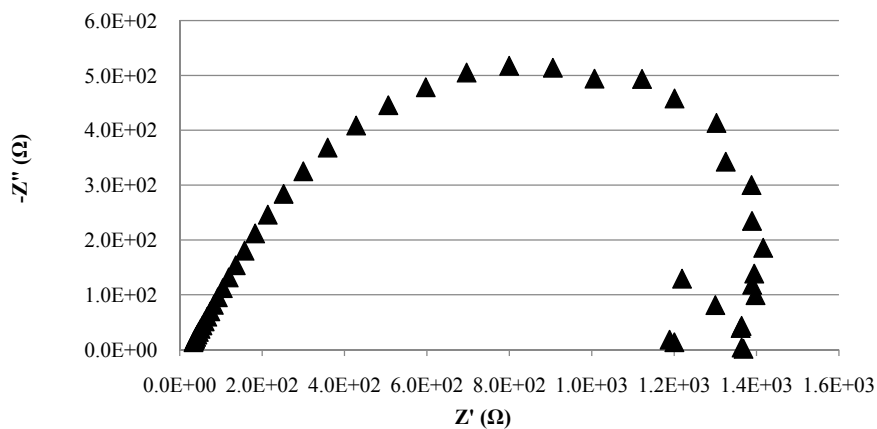
شکل ۲ الگوی پراش پرتوی ایکس (XRD) مربوط به آلیاژ منیزیم AZ91 پوشش داده با آب کاری الکتریکی نیکل



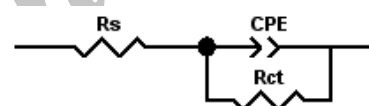
شکل ۳ نمودار نای کوواست برای آلیاژ منیزیم AZ91 در محلول ۳/۵ درصد وزنی کلرید سدیم



شکل ۴ نمودار نایکواست برای نیکل خالص در محلول ۳/۵ درصد وزنی کلرید سدیم



شکل ۵ نمودار نایکواست برای آلیاژ منیزیم AZ91 پوشش داده شده با آبکاری الکتریکی نیکل در محلول ۳/۵ درصد وزنی کلرید سدیم



شکل ۶ مدل مدار الکتریکی معادل برای استفاده در تحلیل نتایج آزمون EIS

استفاده شود [24]. با توجه به نتایج ارائه شده در جدول (۲)، بدیهی است که آلیاژ منیزیم AZ91 مقادیر بالاتری از CPE-P را دارد و این می‌تواند ناشی از زبردگی سطح ناشی از خوردگی در مرحله‌ی آغازین قرارگیری نمونه در محیط خورنده باشد [25]. به دلیل به وجود آمدن یک نیم دایره در نمودارهای نایکواست، به خصوص برای نیکل خالص و آلیاژ AZ91 پوشش داده شده با آبکاری الکتریکی، می‌توان نتیجه گرفت که فرایند خوردگی در این نمونه‌ها شامل یک ثابت زمانی است [26]. مقاومت محلول (R_s) برای همه‌ی

در جدول (۲)، مقاومت محلول (R_s)، مقاومت انتقال بار (R_{ct}) و المان فاز ثابت (CPE) مربوط به نمونه‌های آزمایش نشان داده شده‌اند. المان فاز ثابت عاملی است که اغلب در مدل‌سازی پاسخ جریان AC به دستگاه‌های ناهمگن استفاده می‌شود. این عامل دارای دو نوع T و P می‌باشد. زمانی که نوع P (CPE-P) برابر با ۱ است، CPE-T با ظرفیت الکتریکی برابر خواهد بود. به طور کلی مقدار CPE-P کمتر از یک است [23]. می‌تواند برای ارزیابی ناهمگنی‌های سطحی (زبری، تخلخل و ریزترک)

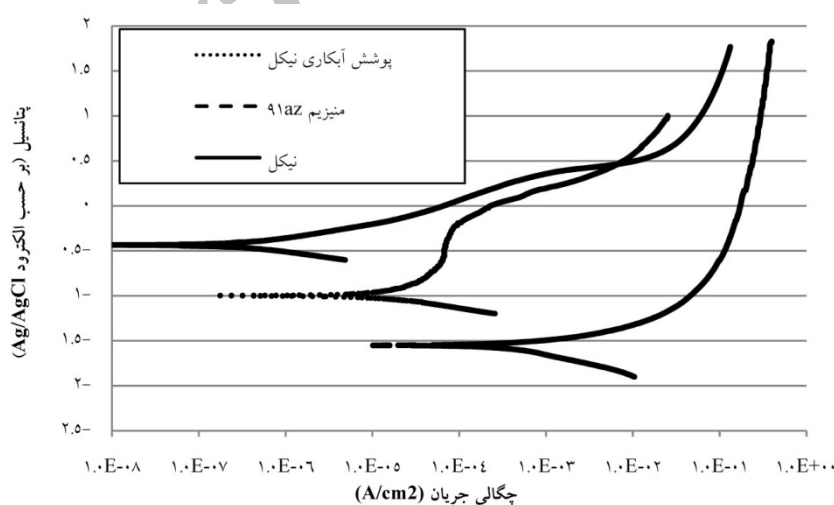
و 10^{-4} A/cm^2 به $2/5 \times 10^{-4} \text{ V}$ (برحسب الکترود Ag/AgCl) و $1/5 \times 10^{-5} \text{ A/cm}^2$ پس از آب کاری الکتریکی تغییر کرده‌اند. بنابراین، نتایج آزمون‌های پلاریزاسیون نتایج به دست آمده از مطالعات طیف‌سنجی امپدانس الکتروشیمیایی (EIS) را تأیید می‌کنند، به طوریکه می‌توان این گونه نتیجه‌گیری کرد که اعمال پوشش نیکل به روش آب کاری الکتریکی بر روی آلیاژ منیزیم AZ91، بدلیل نجیب‌تر بودن نیکل در مقایسه با آلیاژ منیزیم، به میزان قابل توجهی منجر به بهبود مقاومت به خوردگی آلیاژ می‌شود. جایگاه نیکل در میانه‌های جدول سری الکتروشیمیایی است و بنابراین، نجیب‌تر از منیزیم است. نیکل در بسیاری از محلول‌های آبی، به علت تشکیل یک لایه با ضخامت نانومتری از اکسید یا هیدروکسید، قابلیت روئینگ را دارد [28].

نمونه‌ها یکی است، زیرا الکتروولیت برای همه‌ی آن‌ها مشابه و رسانایی الکتروولیت یکسان است. مقادیر بالاتر مقاومت انتقال بار (R_{ct}) در نمونه‌ی پوشش داده شده، حفاظت مؤثر پوشش نیکل از آلیاژ منیزیم AZ91 نشان می‌دهد.

نمودارهای پلاریزاسیون پتانسیو-دینامیک مربوط به نمونه‌ها در محلول $3/5$ درصد وزنی کلرید سدیم در شکل (7) نشان داده شده‌اند. احیای منیزیم در محلول‌های آبی منجر به تشکیل لایه‌ی هیدروکسید منیزیم (Mg(OH)_2) می‌شود. یون‌های کلر با جذب شدن در لایه‌ی هیدروکسید، این لایه را به ترکیب کلریدی محلول Mg(OH)_2 تبدیل می‌کنند و به این ترتیب، فشردگی لایه‌ی محصولات خوردگی را کاهش می‌دهند [27]. با توجه به نتایج حاصل از آزمون پلاریزاسیون، پتانسیل خوردگی و نرخ خوردگی برای آلیاژ AZ91 از $1/55 \text{ V}$ (برحسب الکترود Ag/AgCl)

جدول ۲ عوامل الکتروشیمیایی مربوط به نمونه‌ها در آزمون EIS

نمونه	$R_s(\Omega \cdot \text{cm}^2)$	$R_{ct}(\Omega \cdot \text{cm}^2)$	CPE-T ($\text{F} \cdot \text{cm}^2$)	CPE-P
AZ91 آلیاژ	۷۷/۴۲۸۳	۷۵/۷۰۱	$10^{-7} \times ۶/۶۶۵$	۰/۸۸۱۳
نیکل خالص	۷۰/۶۴۱۳	۳۹۶۰/۶۷	$10^{-7} \times ۹/۸۷۰$	۰/۸۷۴۴
نمونه با پوشش آب کاری الکتریکی	۷۴/۷۷۲	۲۲۰۰/۳۱	$10^{-7} \times ۲/۹۰۸$	۰/۸۶۰۹



شکل ۷ نمودارهای پلاریزاسیون پتانسیو-دینامیک برای آلیاژ منیزیم AZ91، نیکل خالص و آلیاژ AZ91 پوشش داده شده با آب کاری نیکل در محلول $3/5$ درصد وزنی NaCl

بیشتری آلومینیم، مقاومت به خوردگی بالاتری دارد. در حقیقت، علت اصلی تفاوت در نرخ خوردگی فازهای α و β ، به پتانسیل‌های الکترود متفاوت این دو فاز مربوط می‌باشد. پتانسیل الکترود برای فاز α برابر با $V_{1/77} - (بر حسب الکترود SCE)$ و برای فاز β برابر با $V_{1/100} - (بر حسب الکترود SCE)$ می‌باشد. بنابراین، بر روی سطح آلیاژ منیزیم AZ91 به علت توزیع پتانسیل‌ها، تعداد بسیار زیادی پیل‌های میکرونی خوردگی شکل خواهند گرفت. در این شرایط، فاز α به عنوان آند و فاز β به عنوان کاتد عمل خواهد کرد [14,29].

جدول ۳ ترکیب شیمیایی فازهای α و β در آلیاژ AZ91 پس از آزمون پلاریزاسیون در محلول $3/5$ درصد وزنی NaCl.

فاز \ عنصر (wt%)	Al	Mg	Zn	O
α	۹/۶۱	۲۶/۱۲	۰/۳۰	۶۳/۹۷
β	۱۸/۷۱	۳۹/۹۴	۱/۹۰	۳۹/۴۵

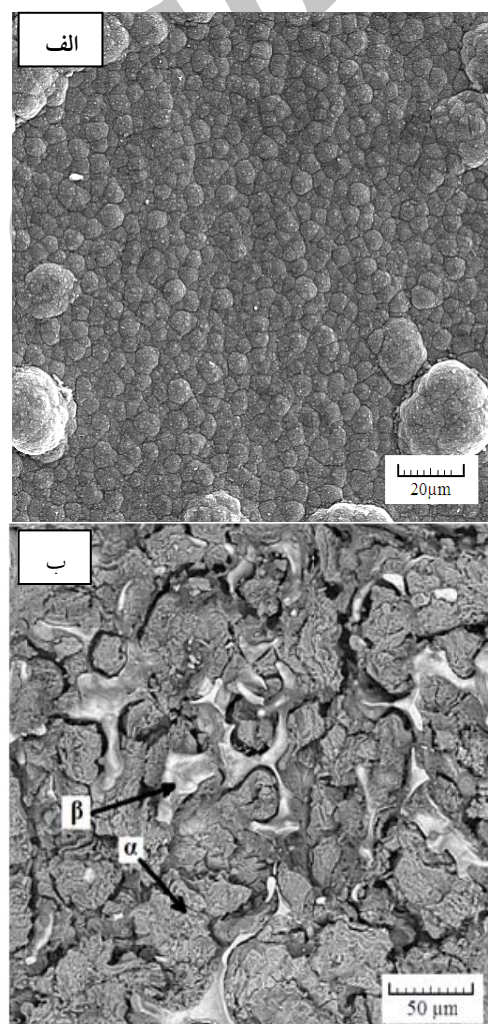
نتیجه‌گیری

نتایج تحقیق حاضر نشان دادند که با انجام فرایندهای مناسب آماده‌سازی (عملیات اولیه) مانند فعال‌سازی، زینکاته کردن و آب‌کاری مس، می‌توان به یک پوشش نیکل فاقد هر گونه تخلخلی دست یافت. پوشش نیکل اعمال شده در این شرایط می‌تواند به طور مؤثری سبب بهبود مقاومت به خوردگی و سختی آلیاژ منیزیم AZ91 شود و این، آلیاژ را برای کاربردهای صنعتی مناسب‌تر می‌کند. نتایج حاصل از اعمال پوشش نیکل نشان دادند که این لایه از نیکل روی سطح آلیاژ منیزیم AZ91، جریان خوردگی آلیاژ را کاهش و پتانسیل خوردگی آن را افزایش می‌دهد.

تشکر و قدردانی

به این وسیله از معاونت پژوهشی دانشگاه آزاد اسلامی واحد یزد به خاطر حمایت مالی از تحقیق حاضر، کمال تشکر و قدردانی به عمل می‌آید.

تصویرهای میکروسکوپ الکترونی روبشی از سطح آلیاژ منیزیم AZ91 و آلیاژ منیزیم پوشش داده شده با آب‌کاری الکتریکی نیکل پس از آزمون خوردگی، در شکل (۸) نشان داده شده‌اند. در مورد آلیاژ منیزیم پوشش داده شده به روش آب‌کاری نیکل، یک خوردگی یکنواخت اتفاق افتاده است، ولی در آلیاژ منیزیم AZ91 (شکل (۸-الف)، فازهای α و β به سبب ترکیب شیمیایی خاصی که دارند، با نرخ‌های متفاوتی خوردگی شده‌اند. ترکیب شیمیایی فازهای α و β پس از آزمون خوردگی، در جدول (۳) آورده شده است. فاز β در مقایسه با فاز α به سبب داشتن درصد



شکل ۸ تصویرهای SEM از سطح آلیاژ منیزیم AZ91 (الف)، آلیاژ AZ91 پوشش داده شده به روش آب‌کاری الکتریکی نیکل پس از آزمون پلاریزاسیون در محلول $3/5$ درصد وزنی NaCl.

مراجع

1. Iranipour, N., AzariKhosroshahi, R., ParviniAhmadi, N., "A study on the electroless Ni-P deposition on WE43 magnesium alloy", *Surface and Coatings Technology*, Vol. 205, pp. 2281-2286, (2010).
2. Elsentriecy, H.H., Azumi, K., "Electroless Ni-P Deposition on AZ91 D Magnesium Alloy Prepared by Molybdate Chemical Conversion Coatings", *Journal of Electrochemical Society*, Vol.156, pp. D70-D77, (2009).
3. Zhang, W.X., Jiang, Z.H., Li, G.Y., Jiang, Q., Lian, J.S., "Electroless Ni-Sn-P coating on AZ91D magnesium alloy and its corrosion resistance, Surface and Coatings Technology", Vol.202, pp. 2570-2576, (2008).
4. Gu, C., Lian, J., He, J., Jiang, Z., Jiang, Q., "High corrosion-resistance nanocrystalline Ni coating on AZ91D magnesium alloy", *Surface and Coatings Technology*, Vol.200, pp. 5413-5418, (2006).
5. Ambat, R., Zhou, W., "Electroless nickel-plating on AZ91D magnesium alloy: effect of substrate microstructure and plating parameters", *Surface and Coatings Technology*, Vol.179, pp. 124-134, (2004).
6. Huang, C.A., Wang, T.H., Weirich, T., Neubert, V., "A pretreatment with galvanostatic etching for copper electrodeposition on pure magnesium and magnesium alloys in an alkaline copper-sulfate bath", *ElectrochimicaActa*, Vol.53, pp. 7235-7241, (2008).
7. Li, G.Y., Lian, J.S., Niu, L.Y., Jiang, Z.H., Jiang, Q., "Growth of zinc phosphate coatings on AZ91D magnesium alloy", *Surface and Coatings Technology*, Vol.201, pp. 1814-1820, (2006).
8. ASTM Standard Designation B 480-88.
9. Spencer, L.F., "Metal Finishing", Vol.68, p.32, (1970).
10. Sakata, Y., "Electroless nickel plating directly on magnesium alloy die castings", *74th AESF Technical Conference*, p.15, (1987).
11. Fairweather, W.A., "Electroless nickel plating of magnesium", *Transactions*, Vol.75, pp. 113-117, (1997).
12. Brown, L., "UK company leads the way in magnesium plating", *Finishing*, Vol.18, pp. 22-23, (1994).
13. Corley, P.J., "Magnesium magic", *Finishing*, Vol.19, p.26, (1995).
14. Zhu, Y., Yu, G., Hu, B., Lei, X., Yi, H., Zhang, J., "Electrochemical behaviors of the magnesium alloy substrates in various pretreatment solutions", *Applied Surface Science*, Vol.256, pp. 2988-2994, (2010).
15. Huang, C.A., Wang, T.H., Weirich, T., Neubert, V., "Electrodeposition of a protective copper/nickel deposit on the magnesium alloy (AZ31)", *Corrosion Science*, Vol.50, pp. 1385-1390, (2008).
16. Lee, J., Chung, W., Jung, U., Kim, Y., "Direct nickel electrodeposition on magnesium alloy in pyrophosphate electrolyte", *Surface and Coatings Technology*, Vol.205, pp. 4018-4023, (2011).

17. Tang, J., Azumi, K., "Effect of copper pretreatment on the zincate process and subsequent electroplating of a protective copper/nickel deposit on the AZ91D magnesium alloy", *Electrochimica Acta*, Vol.56, pp. 8776-8782, (2011).
18. Birks, L.S., Friedman, H., "Particle size determination from x-ray line broadening", *Journal of Applied Physics*, Vol.17, pp. 687-692, (1946).
19. Gray, J.E., Luan, B., "Protective coatings on magnesium and its alloys - a critical review", *Journal of Alloys and Compounds*, Vol.336, pp. 88-113, (2002).
20. Bicelli, L.P., Bozzini, B., Mele, C., DURZO, L., "A Review of Nanostructural Aspects of Metal Electrodeposition", *International Journal of Electrochemical Science*, Vol.3,pp. 356-408, (2008).
21. Liu, Y., Yu, S.-r., Liu, J.-d., Han, Z.-w., Yuan, D.-s., " Microstructure and wear resistance of electrodeposited Ni-SiO₂ nano-composite coatings on AZ91HP magnesium alloy substrate", *Transactions of Nonferrous Metals Society of China*, Vol.21, Supplement 2, pp. s483-s488, (2011).
22. Mu, S., Li, N., Li, D., Xu, L., "Corrosion behavior and composition analysis of chromate passive film on electroless Ni-P coating", *Applied Surface Science*, Vol.256, pp. 4089-4094, (2010).
23. Jung, H., Alfantazi, A., "An electrochemical impedance spectroscopy and polarization study of nanocrystalline Co and Co-P alloy in 0.1 M H₂SO₄ solution", *Electrochimica Acta*, Vol. 51, pp. 1806-1814, (2006).
24. Yao, Z., Jiang, Z., Wang, F., "Study on corrosion resistance and roughness of micro-plasma oxidation ceramic coatings on Ti alloy by EIS technique", *Electrochimica Acta*, Vol. 52, pp. 4539-4546, (2007).
25. Mark, B.T., Orazem, E., "Electrochemical Impedance Spectroscopy", *John Wiley & Sons*, (2008).
26. Balaraju, J.N., Sankara Narayanan, T.S.N., Seshadri, S.K., "Electroless Ni-P composite coatings", *Journal of Applied Electrochemistry*, Vol. 33,pp. 807-816, (2003).
27. Liang, J., Srinivasan, P.B., Blawert, C., Dietzel, W., "Influence of chloride ion concentration on the electrochemical corrosion behaviour of plasma electrolytic oxidation coated AM50 magnesium alloy", *Electrochimica Acta*, Vol.55, pp. 6802-6811, (2010).
28. Shreir, R.A.J. L.L., Burstein, G.T., " CORROSION", Butterworth-Heinemann, Great Britain, (1994).
29. Wang, L., Shinohara, T., Zhang, B.-P., "Corrosion behavior of Mg, AZ31, and AZ91 alloys in dilute NaCl solutions", *Journal of Solid State Electrochemistry*, Vol.14, pp. 1897-1907, (2010).